

靶式喷嘴雾化特性实验研究^①

胡春波 陈步学 蔡体敏

(西北工业大学航天工程学院, 西安, 710072)

摘要: 对靶式喷嘴雾化特性用三维相位多普勒粒子分析仪进行了实验研究。测量结果显示, 该靶式喷嘴雾化效果较好, 喷雾中心粒度较小, 粒度随气液质量比增大呈减小趋势, 重力对喷雾场粒子速度分布有一定的影响。

主题词: 靶式喷嘴⁺, 燃油雾化, 粒度, 速度测量

分类号: V233.42

EXPERIMENTAL STUDY ON ATOMIZING FLOWFIELD OF TARGET SPRAY NOZZLE

Hu Chunbo Chen Buxue Cai Timin

(Coll. of Astronautics, Northwestern Polytechnical Univ., Xi'an, 710072)

Abstract: At target spray nozzle, high speed gas flow smashes the liquid film formed from jet-impinging atomization into pieces. Atomizing flowfields at different vertical sections away from spray nozzle exit were measured by 3D-PDPA system. The main respects measured are as follows: (1) The variation of particle mean velocity with Y ; (2) the proportion of particle number within different diameter ranges. The main results measured are as follows: (1) the target spray nozzle achieved good results; (2) atomized particle diameter decrease as ratio of air to water increases. (3) particle mean velocities are influenced by gravity.

Subject terms: Target spray nozzle⁺, Fuel pulverization, Granularity, Velocity measurement

1 引言

Brena^[1]对旋转喷雾结构进行了实验研究, Lefebvre^[2]对气泡雾化喷嘴的气液比与雾化粒径之间的关系进行了研究, 石少平^[3]对低 Weber 数射流撞击雾化的数学模型进行了研究。由于靶式喷嘴雾化机理非常复杂, 目前有关靶式喷嘴雾化特性的理论研究和实验研究的文献报道甚少。本文采用相位多普勒粒子分析仪, 对靶式喷嘴雾化特性进行了实验研究。测出了不同截面上粒子的平均速度和粒径的分布, 以及气液比对雾化效果的影响, 为靶式喷嘴雾化理论研究, 提供了很有价值的实验数据。

2 实验装置和测量方法

实验用水代替油, 空气代替蒸汽, 高压空气由压缩机提供, 高压水由离心泵提供。实验所用靶式喷嘴结构示意图如图1所示。

① 收稿日期: 1998-02-26, 修回日期: 1998-04-13

测量采用三维相位多普勒粒子分析仪 (PDPA 系统), 利用相位差原理测量粒度。测速精度为 0.2%, 测粒精度为 1%, 每个点采集 4000 个有效粒子, 然后进行统计平均得到粒子的粒度和三维平均速度。测量截面为沿气流方向距喷嘴出口 $x=800\text{mm}$, 1000mm , 在竖直截面上沿 Y 方向扫描。

实验所用的气流压力为 $0.5\text{MPa} \sim 0.6\text{MPa}$, 气流量为 $440\text{kg/h} \sim 490\text{kg/h}$, 水压为 $0.3\text{MPa} \sim 0.7\text{MPa}$, 水流量为 $4000\text{kg/h} \sim 9000\text{kg/h}$ 。实验所用的运行参数和实际生产中的参数比较接近。

3 实验结果

竖直截面内, 雾化粒子平均直径 SMD 沿 Y 方向的分布如图 2, 3 所示。粒子的 SMD, 沿 Y 的正、负方向都逐渐增大, 喷雾场中心雾化粒径最小。这说明在喷雾场中心大粒子数较少; 远离喷雾场中心, 大粒子数增多。不同气液质量比 (ALR) 情况下, 粒子 SMD 沿 Y 方向的变化趋势不变。

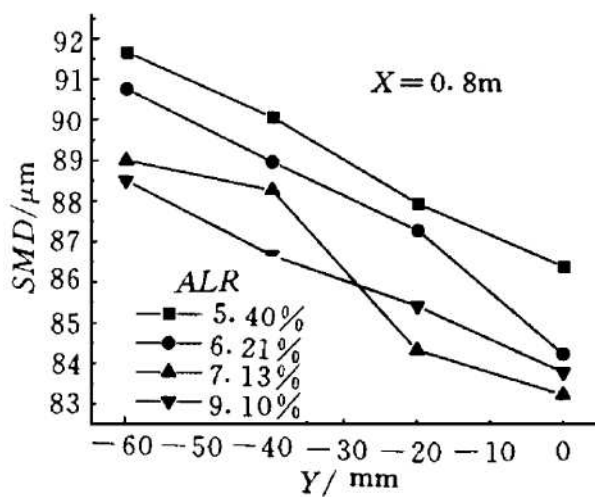


Fig. 2 Variation of SMD with Y

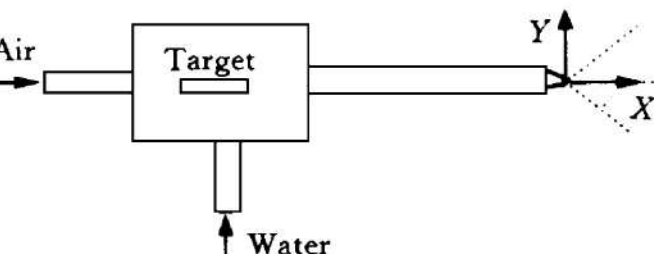


Fig. 1 The scheme of target spray nozzle

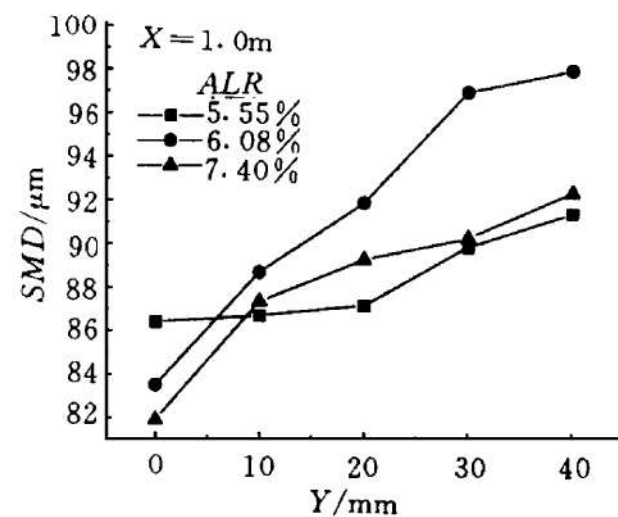
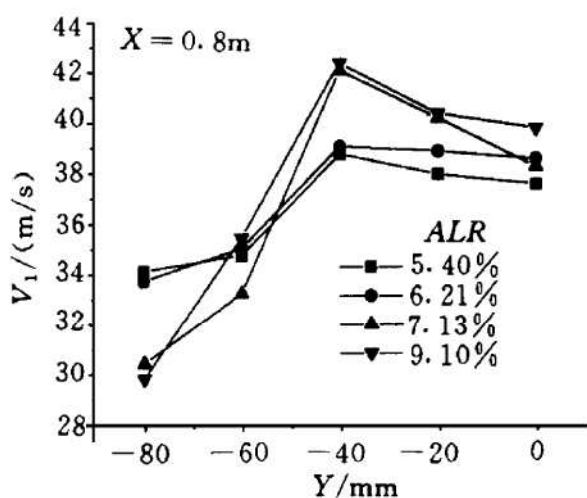
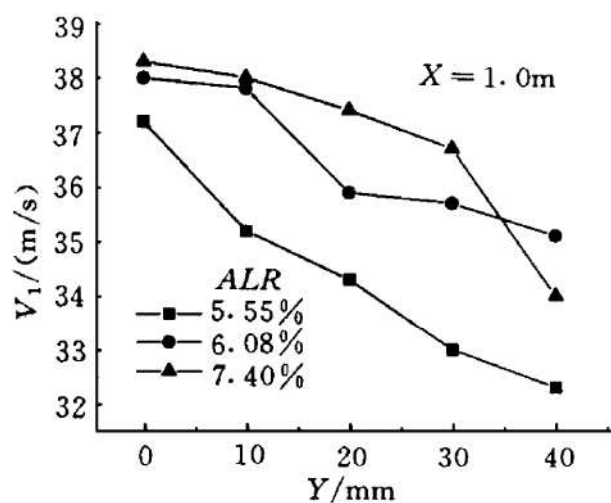
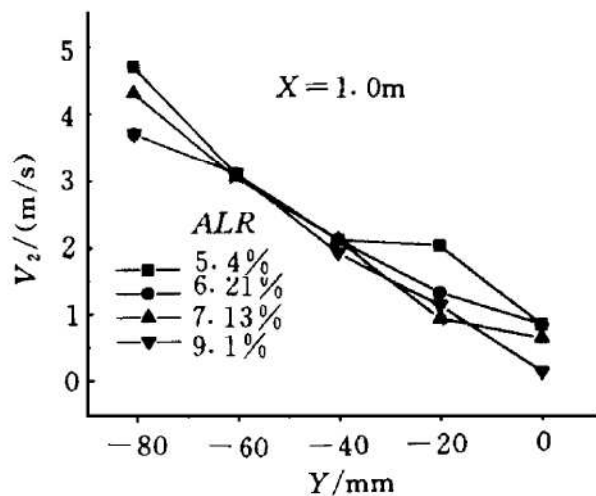
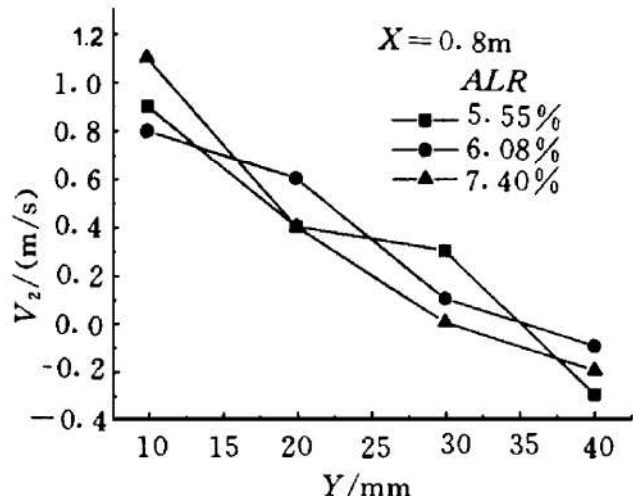
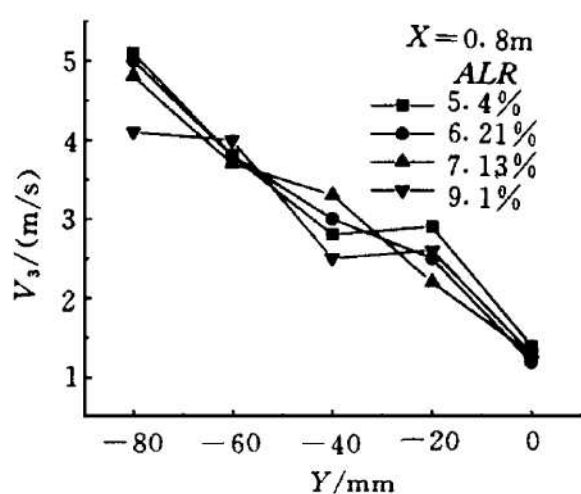
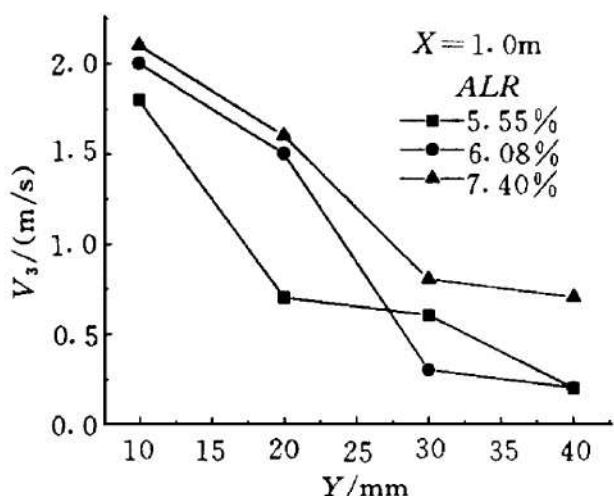


Fig. 3 Variation of SMD with Y

X 方向粒子平均速度 V_1 沿 Y 方向分布如图 4, 5 所示。从图中可以看出: 沿 Y 的负方向, 从 $0\text{mm} \sim -40\text{mm}$, V_1 逐渐增大; 从 $-40\text{mm} \sim -80\text{mm}$, V_1 逐渐减小。 V_1 沿 Y 的正方向逐渐减小。主流速度的最大值由于重力的影响而向下稍有偏移。不同气液质量比下, V_1 沿 Y 方向变化趋势不变。

Y 方向粒子平均速度 V_2 沿 Y 方向的分布如图 6, 7 所示。沿 Y 的负方向, V_2 逐渐增大。沿 Y 的正方向, V_2 逐渐减小, 这说明重力对 V_2 方向有影响。不同气液质量比下, V_2 沿 Y 方向的变化趋势不变。和 V_1 相比, V_2 较小。

Z 方向粒子平均速度 V_3 沿 Y 方向分布如图 8, 9 所示。沿着 Y 的负方向, V_3 逐渐增大, 沿着 Y 的正方向, V_3 逐渐减小。不同气液质量比下, V_3 沿 Y 方向分布基本不变。

Fig. 4 Variation of V_1 With Y Fig. 5 Variation of V_1 with Y Fig. 6 Variation of V_2 with Y Fig. 7 Variation of V_2 with Y Fig. 8 Variation of V_3 with Y Fig. 9 Variation of V_3 with Y

粒子的算术、Sauter 平均直径随气液质量比的变化如图 10 所示。随着气液质量比增大，粒子平均直径减小，并且减小的速率逐渐减慢。当气液质量比增大到一定程度，再靠增大气液比来改善雾化情况，效果将不明显。 SMD 比算术平均直径大得多，说明雾化场中有一定数量的大粒子存在。

不同粒径范围内，粒子数所占比例分布如表 1 所示，从表中可以看出，雾化粒径分布较好， $30\mu m \sim 90\mu m$ 之间的粒子数占 $47\% \sim 58\%$ ，大于 $90\mu m$ 的粒子数占 $11\% \sim 25\%$ ，当气压不变，水压减小时，大于 $90\mu m$ 的粒子所占比例数减小。

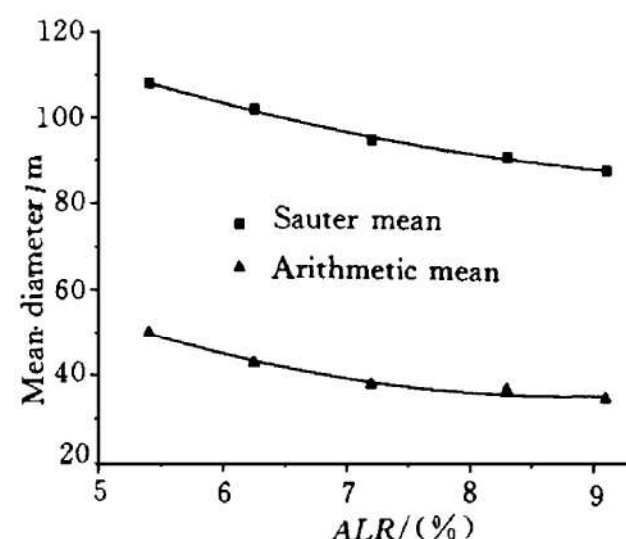


Fig. 10 Variation of mean diameter with air-water ratio

Table 1 The proportion of particle number within various diameter range

Gas pressure/MPa	Water pressure/MPa	Proportion of particle number/%		
		$4\mu m \sim 30\mu m$	$30\mu m \sim 90\mu m$	$>90\mu m$
0.6	0.7	33.9	52.6	13.5
0.6	0.5	42.6	47.1	10.3
0.5	0.6	26.3	49.58	24.2
0.5	0.5	31.8	47.1	21.1
0.5	0.4	27.9	55.4	16.7
0.5	0.3	28.8	55.8	15.4
0.4	0.5	27.8	48.8	23.4
0.4	0.4	33.4	49.5	17.1

4 结 论

- (1) 气液质量比增大，雾化粒径减小，但减小速率逐渐变慢。
- (2) 雾化粒径分布较好， $30\mu m \sim 90\mu m$ 粒子数占 50% 多，大于 $90\mu m$ 粒子所占比例较少。
- (3) 不同气液质量比下，粒子平均速度 V_1 ， V_2 ， V_3 及 SMD 沿 Y 方向分布趋势不变。

参 考 文 献

- 1 B de la Rosa A. Particle diagnostics and turbulence measurements in a confined isothermal liquid spray. Transactions of the ASME Journal of Engineering for Gas Turbines and Power, 1993, 115: 499
- 2 Lefebvre A A. Characteristics of aerated-liquid pressure atomizers. AIAA 87-0063
- 3 石少平. 低 Weber 数射流撞击雾化的数学模型. 航空动力学报, 1994 (3): 285~288